

УДК 004.942:539.371

## МАТЕМАТИЧЕСКОЕ МОДЕЛИРОВАНИЕ НАПРЯЖЕННО-ДЕФОРМИРОВАННОГО СОСТОЯНИЯ ТРЕХСЛОЙНОГО СТЕРЖНЯ С НЕСЖИМАЕМЫМ ЗАПОЛНИТЕЛЕМ

К.С. КУРОЧКА, О.В. РОГОВЦОВА

Гомельский государственный технический университет имени П.О. Сухого  
пр. Октября 48, Гомель, 246746, Беларусь

Поступила в редакцию 19 апреля 2013

Представлена математическая модель на основе метода конечных элементов напряженно-деформированного состояния трехслойного стержня с несжимаемым заполнителем под действием вертикальной нагрузки. Приведены результаты верификации данной модели.

*Ключевые слова:* математическое моделирование, метод конечных элементов, трехслойный стержень.

### Введение

В настоящее время все большее применение находят трехслойные элементы конструкций. Совместное использование материалов с существенно различающимися термомеханическими характеристиками позволяет получать в рамках конструкции новые полезные свойства, не достижимые при использовании однородных элементов. Прочные и жесткие несущие слои обеспечивают необходимые значения деформаций, а внутренние слои, перераспределяя усилия между несущими слоями, могут также выполнять и ряд других функций. Например, тепло- и звукоизоляцию, демпфирование и снижение вибраций и т.п.

Одним из распространенных трехслойных элементов конструкций является стержень, используемый, как правило, совместно с другими подобными элементами. Сложность всей конструкции в целом и необходимость комплексного рассмотрения накладывает определенные требования к процессу компьютерного моделирования и расчета отдельных ее элементов. Особенно важными из требований являются ресурсоемкость и время нахождения единичного решения. Это можно обеспечить только разработкой новых математических моделей и алгоритмов исследования поведения трехслойных стержней под действием различных видов и типов нагрузок.

### Теоретический анализ

При расчете трехслойного стержня с несжимаемым заполнителем выделяются задачи обеспечения нормативных значений прогиба и деформаций.

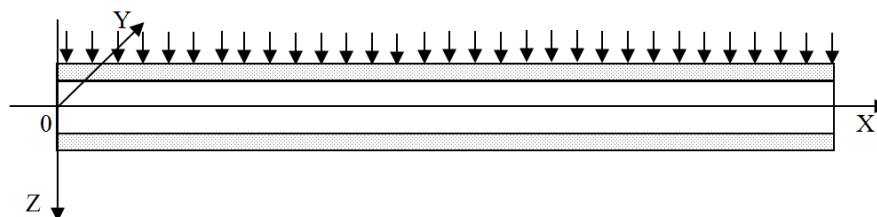


Рис. 1. Трехслойный стержень под действием вертикальной поперечной нагрузки

Одним из методов компьютерного исследования данных задач является метод конечных элементов [1–3]. В данной работе рассматривается задача определения прогиба трехслойного стержня под действием вертикальной поперечной нагрузки (рис. 1). При этом принимаются следующие гипотезы.

1. О малости деформаций: деформации малы по сравнению с размерами тела, т.е. изменение размеров стержня и его слоев вследствие деформации можно не учитывать, а длина стержня значительно больше его толщины и ширины (рис. 1), т.е. перемещения вдоль оси  $OY$  можно пренебречь [4]:

$$\vartheta = 0. \quad (1)$$

2. Справедлив закон Гука [3, 4]:

$$\{\sigma\} = [D]\{\varepsilon\}, \quad (2)$$

где  $\{\sigma\}$  – вектор напряжений;  $\{\varepsilon\}$  – вектор деформаций;  $[D]$  – матрица жесткости элемента материала.

3. Материалы слоев несжимаемы в поперечных направлениях [4]:

$$\varepsilon_z = 0; \varepsilon_y = 0. \quad (3)$$

4. Для несущих слоев справедлива гипотеза плоских сечений Бернулли [4], на основании которой имеем отсутствие нормальной компоненты деформации вдоль оси  $OZ$  и тангенциальных компонент деформаций в плоскостях  $XOZ$  и  $YOZ$ :

$$\gamma_{yz} = 0; \gamma_{zx} = 0. \quad (4)$$

5. Для внутреннего слоя справедлива гипотеза о прямолинейности деформированной нормали заполнителя [4], из которой следует, с учетом (1), что срединная плоскость заполнителя не деформируется, т.е.

$$u_0 = 0, \quad (5)$$

где  $u_0$  – перемещения точек срединной плоскости вдоль оси  $OX$ .

Воспользуемся уравнениями Коши [3, 4]:

$$\begin{aligned} \varepsilon_x &= \frac{\partial u}{\partial x}; \quad \varepsilon_y = \frac{\partial \vartheta}{\partial y}; \quad \varepsilon_z = \frac{\partial w}{\partial z}; \\ \gamma_{xy} &= \frac{\partial u}{\partial y} + \frac{\partial \vartheta}{\partial x}; \quad \gamma_{yz} = \frac{\partial \vartheta}{\partial z} + \frac{\partial w}{\partial y}; \quad \gamma_{zx} = \frac{\partial u}{\partial z} + \frac{\partial w}{\partial x}, \end{aligned} \quad (6)$$

из гипотез (1), (3) и (4) получим:

$$\varepsilon_z = \frac{\partial w}{\partial z} = 0; \quad \gamma_{yz} = \frac{\partial \vartheta}{\partial z} + \frac{\partial w}{\partial y} = \frac{\partial w}{\partial y} = 0,$$

следовательно, прогибы не зависят от координат  $y$  и  $z$ , таким образом

$$w = w(x). \quad (7)$$

Из гипотезы (4) получаем:

$$\gamma_{zx} = \frac{\partial w}{\partial x} + \frac{\partial u}{\partial z} = 0.$$

Следовательно,

$$\frac{\partial u}{\partial z} = -\frac{\partial w}{\partial x}.$$

Интегрируя по  $z$  последнее тождество, имеем:  $u = -z \frac{\partial w}{\partial x} + f_1(x, y)$ .

Так как последнее выражение справедливо для всего стержня, то для срединной плоскости будем иметь:  $u_0 = -z \frac{\partial w}{\partial x} + f_1(x, y)$ .

Подставляя (5) в предыдущее тождество при  $z = 0$ , получим  $u_0 = f_1(x, y) = 0$ , откуда:

$$u = -z \frac{\partial w}{\partial x}. \quad (8)$$

Рассмотрим несущие слои стержня. Согласно принятых гипотез, с учетом уравнений Коши (6) и формулы (8), в векторах напряжений и деформаций останется по одной ненулевой компоненте:

$$\{\epsilon^i\} = \{\epsilon_x^i\} \text{ и } \{\sigma^i\} = \{\sigma_x^i\},$$

а закон Гука (2) примет вид:

$$\{\sigma_x^i\} = [D^i] \{\epsilon_x^i\}, \quad (9)$$

где  $[D^i] = E^i$ ,  $E^i$  – модуль упругости  $i$ -го слоя;  $i$  – номер слоя,  $i = \overline{1, 2}$ .

Для внутреннего слоя появятся касательные деформации и напряжения в плоскости  $XOZ$ :

$$\{\epsilon^0\} = \left\{ \begin{matrix} \epsilon_x^0 \\ \gamma_{xz}^0 \end{matrix} \right\} \text{ и } \{\sigma^0\} = \left\{ \begin{matrix} \sigma_x^0 \\ \tau_{xz}^0 \end{matrix} \right\},$$

закон Гука (2) примет вид:

$$\{\sigma^0\} = [D^0] \{\epsilon^0\}, \quad (10)$$

где индекс 0 означает внутренний слой-заполнитель;

$$[D^0] = \begin{bmatrix} K + \frac{4}{3}G & 0 \\ 0 & G \end{bmatrix};$$

$K$  – модуль объемной деформации материала;  $G$  – сдвиговой модуль упругости.

### Методика построения математической модели

Анализируя выражения (1) и (8), с учетом (6), приходим к возможности выбрать в качестве искомой величины прогиб:  $w = w(x)$ . При этом в силу (8) и (6) необходимо существование второй производной искомой функции  $w(x)$  [5]. Следуя вышеизложенному, для моделирования прогибов трехслойного стержня воспользуемся одномерными конечными элементами с двумя узлами по две степени свободы в каждом (рис. 2)  $\{\delta\}^T = \{w \ \theta_x\}$ , где  $\{\delta\}$  – вектор узловых степеней свободы конечного элемента;  $\theta_x = \frac{\partial w}{\partial x}$ .

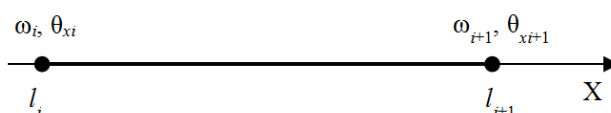


Рис. 2. Одномерный конечный элемент для моделирования прогибов трехслойного стержня

Будем аппроксимировать значения искомой функции  $w(x)$  и ее первой производной  $\theta_x$  следующими полиномами, обеспечивающими существование функционала вариационной задачи [1, 5]:

$$w(x) = a_1 + a_2x + a_3x^2 + a_4x^3; \quad (11)$$

$$\theta_x(x) = a_2 + 2a_3x + 3a_4x^2. \quad (12)$$

Так как соотношения (11) и (12) справедливы для всех точек конечного элемента, то для его узлов будем иметь:  $\{\delta_0\} = [A]\{a\}$ , где  $\{a\}^T = \{a_1 \ a_2 \ a_3 \ a_4\}$ ;  $\{\delta_0\}^T = \{w_1 \ \theta_{x_1} \ w_2 \ \theta_{x_2}\}$ ;  $w_j, \theta_{x_j}$  – соответственно перемещения  $j$ -го узла и угол поворота;

$$[A] = \begin{bmatrix} 1 & l_1 & l_1^2 & l_1^3 \\ 0 & 1 & 2l_1 & 3l_1^2 \\ 1 & l_2 & l_2^2 & l_2^3 \\ 0 & 1 & 2l_2 & 3l_2^2 \end{bmatrix}, \text{ где } l_j \text{ – координата } j\text{-го узла, } j = \overline{1,2}, \text{ откуда}$$

$$\{a\} = [A]^{-1}\{\delta_0\}. \quad (13)$$

Воспользовавшись формулами Коши (6), соотношениями (11) и (12), продифференцировав, получим:  $\{\varepsilon^i\} = -z[C^i]\{a\}$ .

Подставим (13) в последнее выражение, тогда деформации для каждого слоя будут выражены через перемещения:

$$\{\varepsilon^i\} = [Q^i]\{\delta_0\}, \quad i = \overline{0,2}, \quad (14)$$

где

$$[Q^i] = \begin{bmatrix} \frac{6(l_1+l_2-2x)}{(l_1-l_2)^3} & -\frac{2(l_1+2l_2-3x)}{(l_1-l_2)^2} & -\frac{6(l_1+l_2-2x)}{(l_1-l_2)^3} & -\frac{2(2l_1+l_2-3x)}{(l_1-l_2)^2} \end{bmatrix}, \quad i = \overline{1,2};$$

$$[Q^0] = \begin{bmatrix} \frac{6(l_1+l_2-2x)}{(l_1-l_2)^3} & -\frac{2(l_1+2l_2-3x)}{(l_1-l_2)^2} & -\frac{6(l_1+l_2-2x)}{(l_1-l_2)^3} & -\frac{2(2l_1+l_2-3x)}{(l_1-l_2)^2} \\ -\frac{6(l_1-x)(l_2-x)}{(l_1-l_2)^3} & \frac{(l_2-x)(2l_1+l_2-3x)}{(l_1-l_2)^2} & \frac{6(l_1-x)(l_2-x)}{(l_1-l_2)^3} & \frac{(l_1-x)(l_1+2l_2-3x)}{(l_1-l_2)^2} \end{bmatrix}.$$

Подставляя (14) в (9) и (10), получим:

$$\{\sigma^i\} = [D^i][Q^i]\{\delta_0\}, \quad i = \overline{0,2}. \quad (15)$$

Для построения математической модели воспользуемся принципом возможных перемещений [1, 3, 4], который в случае трехслойного стержня его можно переписать в виде:

$$\{\delta_0\}^T \{R_0\} = \int_{\frac{b}{2}}^{\frac{b}{2}} \int_{\frac{h_0}{2}}^{\frac{h_0}{2}} \int_{\frac{h_0}{2}}^{\frac{h_0}{2}+h_i} \{\varepsilon^1\}^T \{\sigma^1\} dz dx dy + \int_{\frac{b}{2}}^{\frac{b}{2}} \int_{\frac{h_0}{2}}^{\frac{h_0}{2}} \int_{\frac{h_0}{2}}^{\frac{h_0}{2}} \{\varepsilon^0\}^T \{\sigma^0\} dz dx dy + \int_{\frac{b}{2}}^{\frac{b}{2}} \int_{\frac{h_0}{2}}^{\frac{h_0}{2}} \int_{\frac{h_0}{2}-h_2}^{\frac{h_0}{2}} \{\varepsilon^2\}^T \{\sigma^2\} dz dx dy, \quad (16)$$

где  $\{R_0\}$  – вектор узловых сил конечного элемента;  $h_i$  – толщина  $i^{\text{го}}$  слоя стержня,  $i = \overline{0,2}$ ; причем  $h_0$  – толщина заполнителя;  $b$  – ширина стержня; черта над переменной означает вариацию признака.

Подставим в (16) выражения (14) и (15), учитывая, что  $\{\delta_0\}$  не зависит от координат, интегрируя по  $z$  и  $y$ , получим:

$$\{R_0\} = [k^1]\{\delta_0\} + [k^0]\{\delta_0\} + [k^2]\{\delta_0\} = [k]\{\delta_0\}, \quad (17)$$

где

$$[k] = \sum_{i=0}^2 [k^i]; \quad (18)$$

$$[k^i] = bE \frac{(h_0 + 2h_i)^3 - h_0^3}{24} \left[ \int_{l_1}^{l_2} [Q^i]^T [Q^i] dx \right], \quad i = \overline{1,2}; \quad [k^0] = b \frac{h_0^3}{12} \left[ \int_{l_1}^{l_2} [Q^0]^T [D^0] [Q^0] dx \right]. \quad (19)$$

Система линейных алгебраических уравнений (17) – основное уравнение метода конечных элементов, (18) – локальная матрица жесткости для одномерного конечного элемента при изгибе трехслойного стержня с жестким наполнителем.

Интегралы в (19) можно вычислить точно:

$$[k^i] = bE \frac{(h_0 + 2h_i)^3 - h_0^3}{24} \begin{bmatrix} -\frac{12}{(l_1 - l_2)^3} & \frac{6}{(l_1 - l_2)^2} & \frac{12}{(l_1 - l_2)^3} & \frac{6}{(l_1 - l_2)^2} \\ \frac{6}{(l_1 - l_2)^2} & -\frac{6}{l_1 - l_2} & -\frac{12}{(l_1 - l_2)^2} & -\frac{6}{l_1 - l_2} \\ \frac{12}{(l_1 - l_2)^3} & -\frac{6}{(l_1 - l_2)^2} & -\frac{12}{(l_1 - l_2)^3} & -\frac{6}{(l_1 - l_2)^2} \\ \frac{6}{(l_1 - l_2)^2} & -\frac{6}{l_1 - l_2} & -\frac{12}{(l_1 - l_2)^2} & -\frac{6}{l_1 - l_2} \end{bmatrix}, \quad i = \overline{1, 2};$$

$$[k^0] = b \frac{h_0^3}{12} \begin{bmatrix} -\frac{6G}{5(l_1 - l_2)} - \frac{16G + 12K}{(l_1 - l_2)^3} & \frac{G}{10} + \frac{8G + 6K}{(l_1 - l_2)^2} & \frac{6G}{5(l_1 - l_2)} + \frac{16G + 12K}{(l_1 - l_2)^3} & \frac{G}{10} + \frac{8G + 6K}{(l_1 - l_2)^2} \\ \frac{G}{10} + \frac{8G + 6K}{(l_1 - l_2)^2} & \frac{2G(l_2 - l_1)}{15} - \frac{16G + 12K}{3(l_1 - l_2)} & -\frac{G}{10} - \frac{8G + 6K}{(l_1 - l_2)^2} & \frac{G(l_1 - l_2)}{30} - \frac{8G + 6K}{3(l_1 - l_2)} \\ \frac{6G}{5(l_1 - l_2)} + \frac{16G + 12K}{(l_1 - l_2)^3} & -\frac{G}{10} - \frac{8G + 6K}{(l_1 - l_2)^2} & -\frac{6G}{5(l_1 - l_2)} - \frac{16G + 12K}{(l_1 - l_2)^3} & -\frac{G}{10} - \frac{8G + 6K}{(l_1 - l_2)^2} \\ \frac{G}{10} + \frac{8G + 6K}{(l_1 - l_2)^2} & \frac{G(l_1 - l_2)}{30} - \frac{8G + 6K}{3(l_1 - l_2)} & -\frac{G}{10} - \frac{8G + 6K}{(l_1 - l_2)^2} & \frac{2G(l_2 - l_1)}{15} - \frac{16G + 12K}{3(l_1 - l_2)} \end{bmatrix}.$$

После вычисления локальных матриц жесткости осуществлялось построение глобальной матрицы жесткости по следующей формуле:

$$[K_{2j,2j}] = [K_{2j,2j}] + [k_j], \quad j = \overline{1, N}, \quad (20)$$

где  $[K_{2j,2j}]$  – подматрица глобальной матрицы жесткости;  $[k_j]$  – локальная матрица жесткости  $j$ -го конечного элемента, вычисляемая по формулам (18) и (19);  $N$  – количество конечных элементов, дискретизирующих трехслойный стержень.

После построения глобальной матрицы жесткости формируется вектор узловых усилий  $\{R\}$ , учитываются граничные условия и решается система линейных алгебраических уравнений вида (17).

### Результаты и их обсуждение

Для верификации предложенной математической модели рассмотрим задачу определения прогибов заземленного трехслойного стержня длиной 1 м под действием равномерно распределенной нагрузки интенсивности 2 МПа [4]. Физические характеристики слоев стержня приведены в таблице.

Физические характеристики слоев стержня

Номер слоя	Материал слоя	Толщина слоя, м	Модуль упругости $E$ , МПа	Модуль объемной деформации материала $K$ , МПа	Сдвиговый модуль упругости $G$ , МПа
1	алюминиевый сплав Д16Т	0,02	115600	80000	26700
0	политетрафторэтилен	0,09	4820	4700	90
2	алюминиевый сплав Д16Т	0,02	115600	80000	26700

Стержень дискретизировался 10 конечными элементами. Затем по формулам (18) и (19) вычислялись локальные матрицы жесткости, по формуле (20) осуществлялось построение глобальной матрицы жесткости, учитывались граничные условия, формировался вектор узловых усилий и решалась система линейных алгебраических уравнений. В результате были найдены прогибы и углы поворота вдоль оси  $OX$ . Для нахождения напряжений и деформаций можно воспользоваться соотношениями (14) и (15).

В результате исследования математической модели было получено, что максимальное отличие найденных значений прогиба от решения на основе [4] не превышало 5 % (рис. 3).

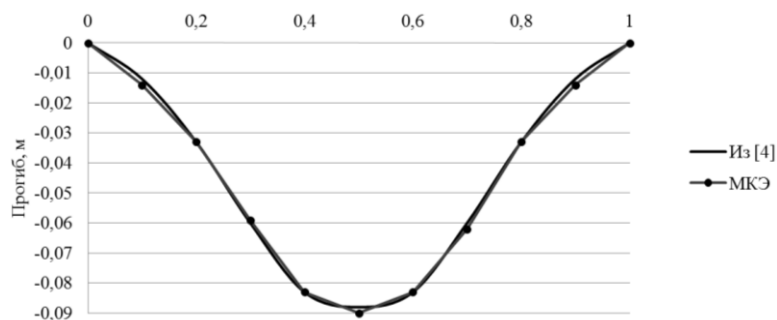


Рис. 3. Прогиб трехслойного стержня под действием равномерно распределенной нагрузки

### Заключение

Построена математическая модель и разработан простой и эффективный алгоритм конечноэлементного моделирования прогибов трехслойного стержня с несжимаемым заполнителем. Вычислены точные значения локальных матриц жесткости для одномерного конечного элемента, создано соответствующее программное обеспечение и проведена его верификация, показавшая возможность применения данного алгоритма и математической модели для исследования напряженно-деформированного состояния тонкого трехслойного стержня с жестким заполнителем под действием поперечной нагрузки.

## MATHEMATICAL MODELING OF STRESS-STRAINED STATE OF THREE-LAYER ROD WITH INCOMPRESSIBLE FILLER

K.S. KURACHKA, V.V. RAHAUTSOVA

### Abstract

The mathematical model based on the finite element method of the stress-strain state of a three-layer rod with incompressible filler under the vertical load is described. The results of the verification of the model are presented.

### Список литературы

1. *Зенкевич О.* Метод конечных элементов в технике. М., 1975.
2. *Сабоннадьер Ж.-К., Кулон Ж.-Л.* Метод конечных элементов и САПР М., 1989.
3. *Быховцев В.Е., Бондарева В.В.* Компьютерное моделирование систем нелинейной механики грунтов. Гомель, 2002.
4. *Старовойтов Э.И., Яровая А.В., Леоненко Д.В.* Деформирование трехслойных элементов конструкций на упругом основании. М., 2006.
5. *Курочка К.С.* // Вестник ГГТУ им. П.О. Сухого. 2003. № 1. С. 39–47.